

Ближняя зона
дифракции

Дальняя зона
дифракции

$$b \ll b_d, N \gg 1$$

**Зона
геометрической
оптики**

$$b \sim b_d, N \sim 1$$

**Зона
дифракции
Френеля**

$$b \gg b_d, N \ll 1$$

**Зона дифракции
Фраунгофера**

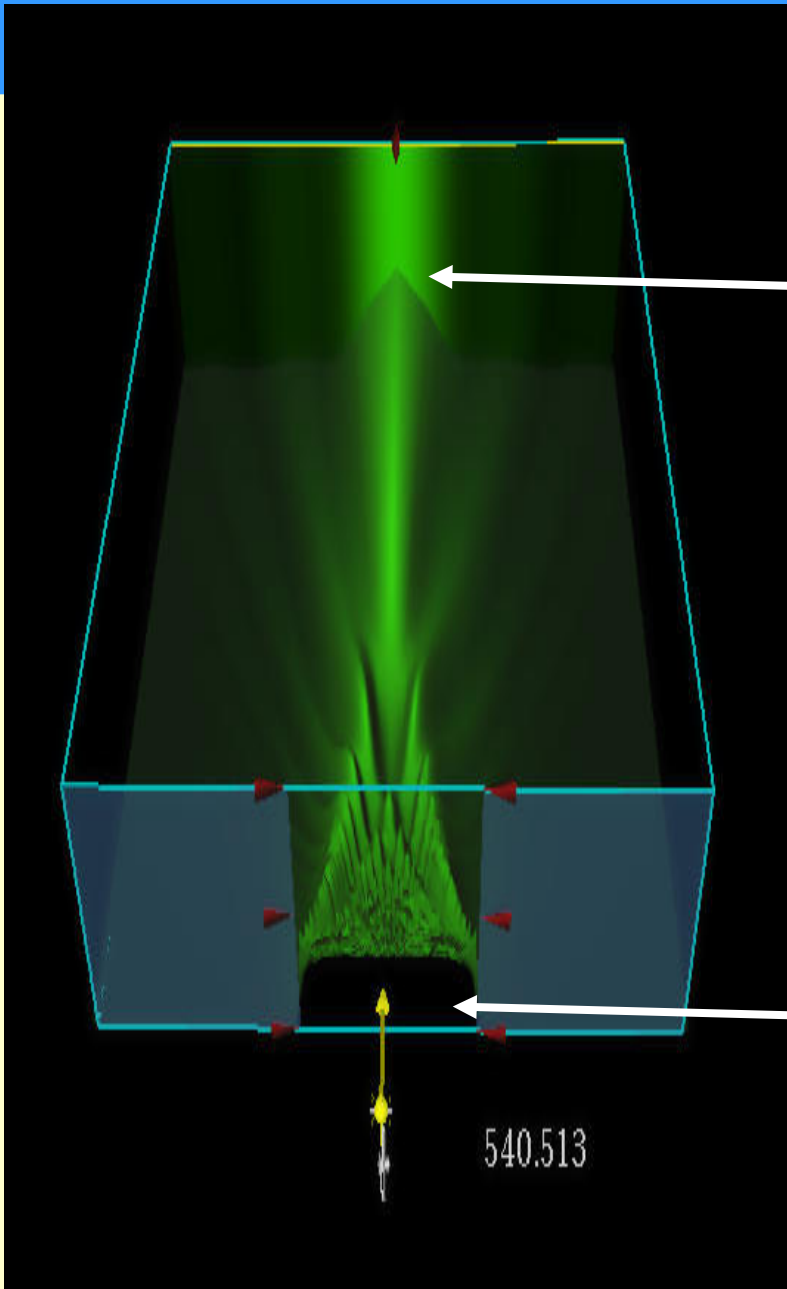
Ближняя зона

- 1. Интенсивность света на оси пучка практически постоянна и равна интенсивности исходной световой волны.
- 2. Пучок сохраняет пространственную структуру, заданную формой отверстия (остается квазиплоской волной). В пределах отверстия помещается множество зон Френеля.

Дальняя зона

- 1. Интенсивность света на оси пучка много меньше интенсивности исходной волны и с увеличением расстояния интенсивность уменьшается обратно пропорционально квадрату расстояния.
- 2. Световой пучок расширяется. В пределах отверстия помещается только малая центральная часть первой зоны Френеля.

Z ↑



Дальняя зона (Дифракция Фраунгофера)

Ближняя зона (дифракция Френеля)

- **Оценки.** Оценим дифракционную длину и угловую расходимость для пучка гелий-неонового лазера. Полагая $d_0 = 5$ мм и $\lambda = 0.5$ мкм, получим:

$$b_{\text{д}} = \frac{r_0^2}{\lambda} = \frac{25 \cdot 10^{-6}}{4 \cdot 0.5 \cdot 10^{-6}} = 12,5 \text{ м}$$

$$\vartheta_{\text{д}} \cong \frac{\lambda}{d_0} = \frac{0.5 \cdot 10^{-6}}{0.5 \cdot 10^{-2}} = 10^{-4} \text{ рад} \cong \frac{10^{-4} \cdot 180 \cdot 60}{3.14} \cong 0.34'$$

Оценки. Пусть когерентный лазерный пучок с длиной волны $\lambda = 0.5$ мкм и диаметром $d_0 = 0.5$ см фокусируется линзой с фокусным расстоянием $f = 1$ м. Тогда:

$$d_f \cong 2\lambda \frac{f}{d} = 2 \cdot 0.5 \cdot 10^{-6} \frac{1}{0.5 \cdot 10^{-2}} = 2 \cdot 10^{-4} \text{ м} = 0.2 \text{ мм},$$

$$l_f \cong 2\lambda \frac{f^2}{d_0^2} = 2 \cdot 0.5 \cdot 10^{-6} \frac{1}{0.25 \cdot 10^{-4}} = 4 \cdot 10^{-2} \text{ м} = 4 \text{ см}.$$

4.8. Понятие о теории дифракции Кирхгофа

- ***Недостатки положений принципа Гюйгенса-Френеля***

1. При расчетах интерференции вторичных волн от отдельных зон, приходится учитывать тот факт, что амплитуда колебаний элемента волновой поверхности, дошедших до точки наблюдения зависит от значения угла α между нормалью к поверхности волны и направлением наблюдения (в общем случае коэффициентом $K(\alpha)$).

2. Метод зон Френеля, правильно задавая амплитуду колебаний вторичных источников не корректно определяет их фазы. В результате чего, вычисленные с помощью методов Френеля фазы волн отличаются от измеренных на $\frac{\pi}{2}$ *.

3. В принципе Гюйгенса-Френеля ничего не говорится об обратной волне, наличие которой следует из принципа Гюйгенса. Эти волны исходят из вторичных источников волнового фронта и распространяются - одна по направлению к источнику друга в противоположном направлении в сторону наблюдателя.

4. Метод зон Френеля применим для решения задач дифракции на объектах, имеющих осевую симметрию.

5. Не совсем корректно объясняется существование зависимости интенсивности света в точке наблюдения от

$$\frac{i}{\lambda}$$

**Уравнение Гельмгольца и
интегральная теорема Гельмгольца-
Кирхгофа**

$$(\Delta + k^2) A(\mathbf{r}) = 0$$

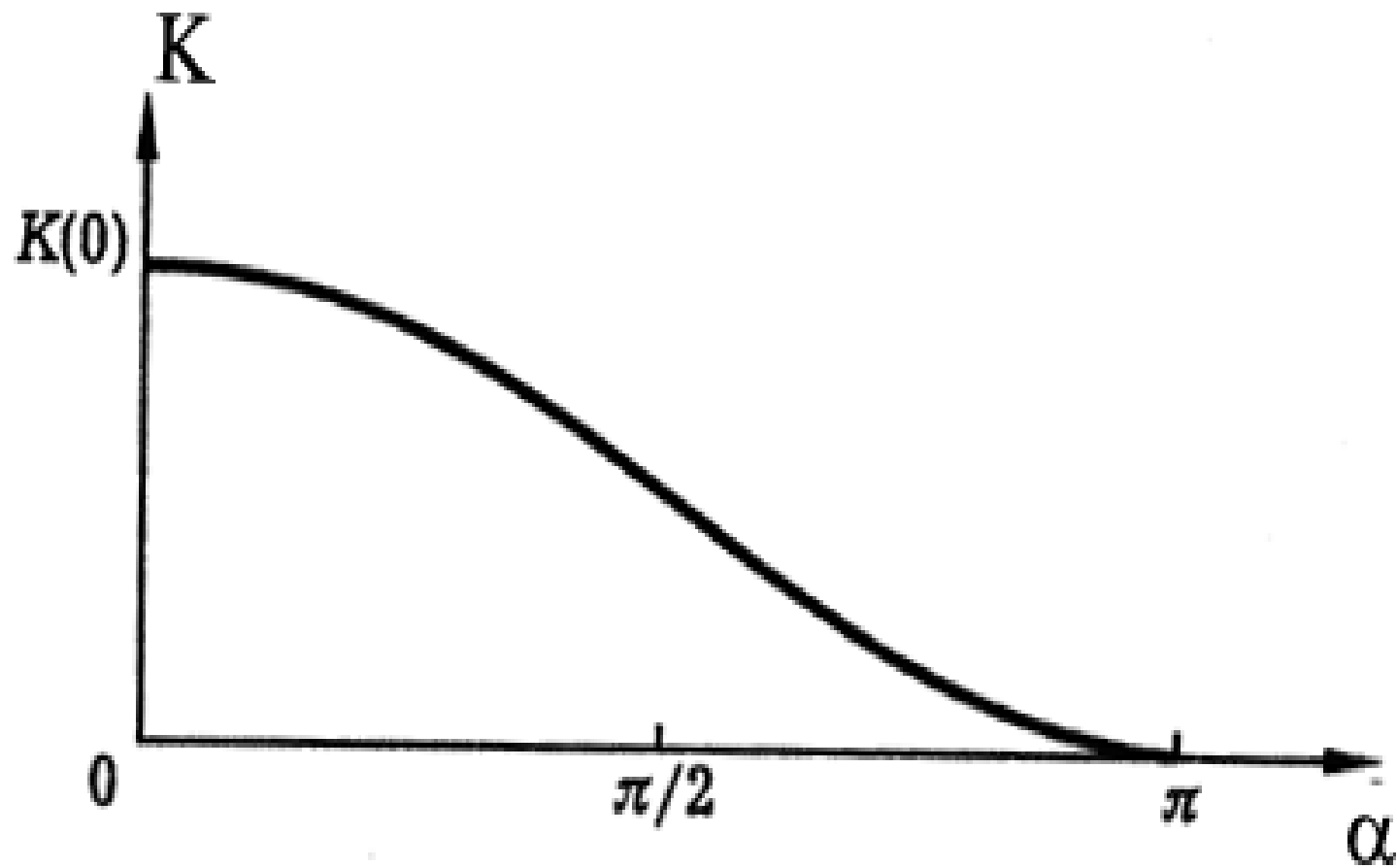
уравнение
Гельмгольца

*интегральная теорема
Гельмгольца-Кирхгофа*

$$A(P) = \frac{1}{4\pi} \iint_{\Sigma} \left(A_{\Sigma} \frac{\partial}{\partial n} \left(\frac{e^{-ik\rho}}{\rho} \right) \Big|_{\Sigma} - \frac{e^{-ik\rho}}{\rho} \cdot \frac{\partial A}{\partial n} \Big|_{\Sigma} \right) d\sigma$$

Дифракционный интеграл Френеля-Кирхгофа

$$A(P) = \iint_{\Sigma_0} A_0 \frac{e^{-ik\rho_1}}{\rho_1} \cdot \frac{e^{-ik\rho}}{\rho} \cdot \frac{i}{2\lambda} (\cos\vartheta_1 - \cos\vartheta) d\sigma$$



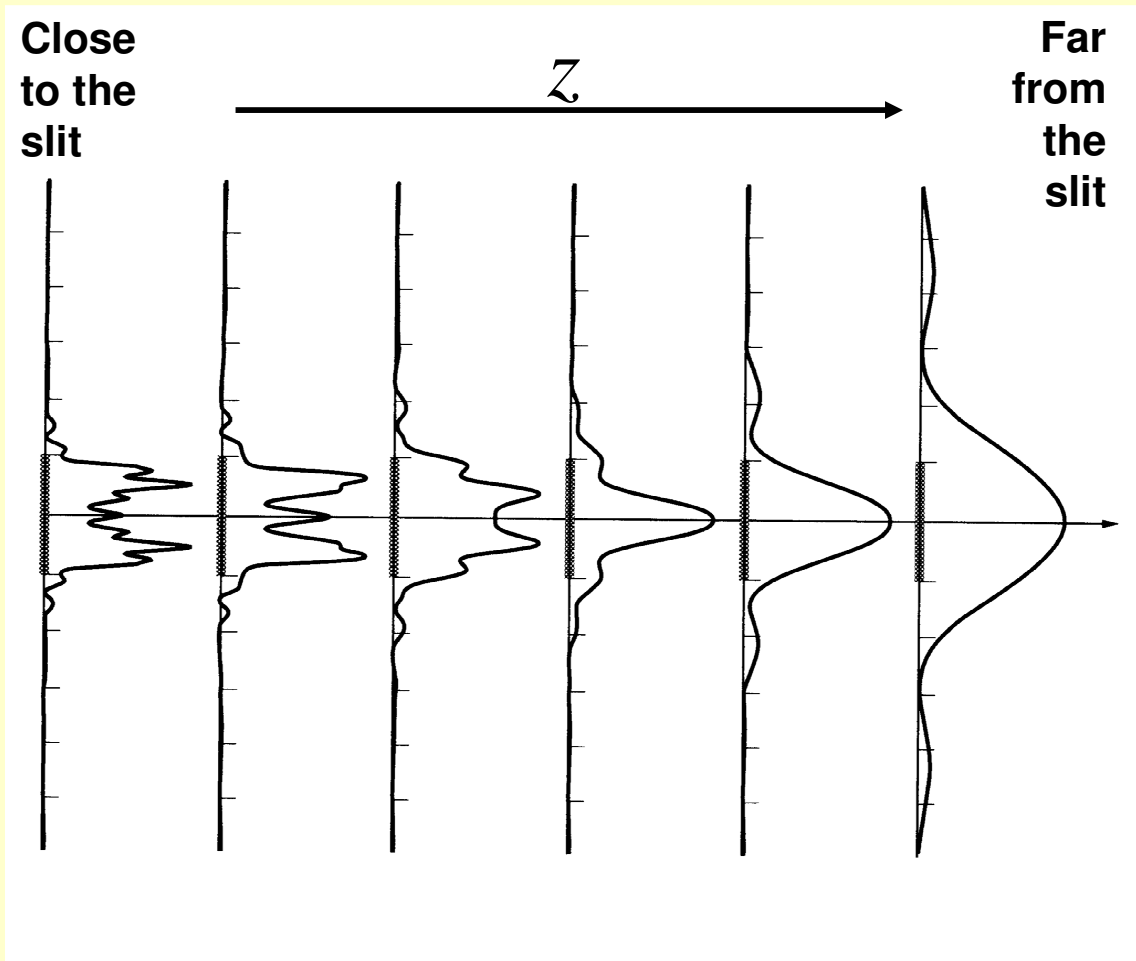
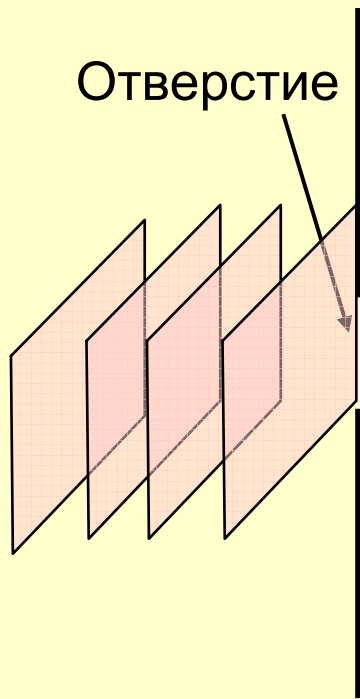
Приближения Френеля и Фраунгофера

- Приближение Френеля

$$A(P) = \frac{i}{\lambda} \cdot \frac{\ell^{-ikb_0}}{b_0} \iint_{\Sigma_0} A_{\Sigma_0} \ell^{-ik \frac{(x-x')^2 + (y-y')^2}{2b_0}} d\sigma$$

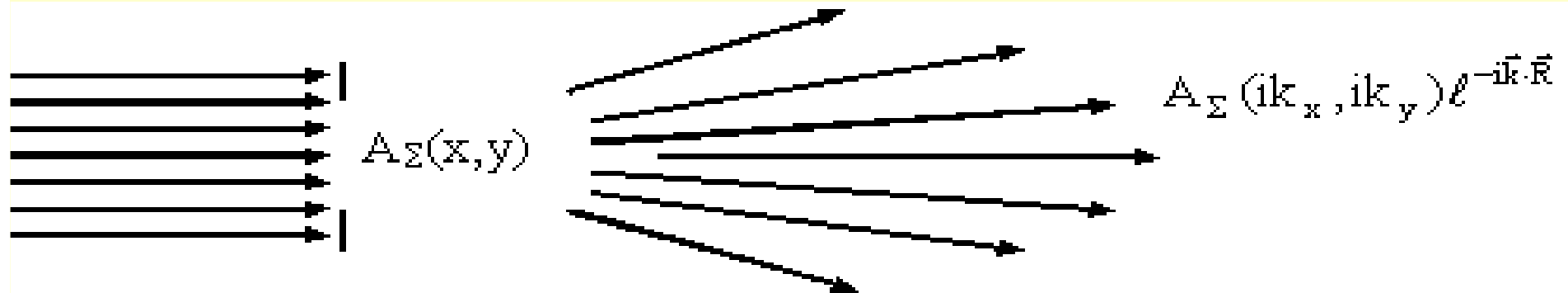
- Приближение Фраунгофера

$$A(P) = \frac{i}{\lambda} \cdot \frac{\ell^{-ikb}}{b} \iint_{\Sigma_0} A_{\Sigma_0} \ell^{ik \frac{\mathbf{r} \cdot \mathbf{r}'}{b}} d\sigma = \frac{i}{\lambda} \cdot \frac{\ell^{-ikb}}{b} \iint_{\Sigma_0} A_{\Sigma_0} \ell^{ik \frac{xx' + yy'}{b}} dx dy$$



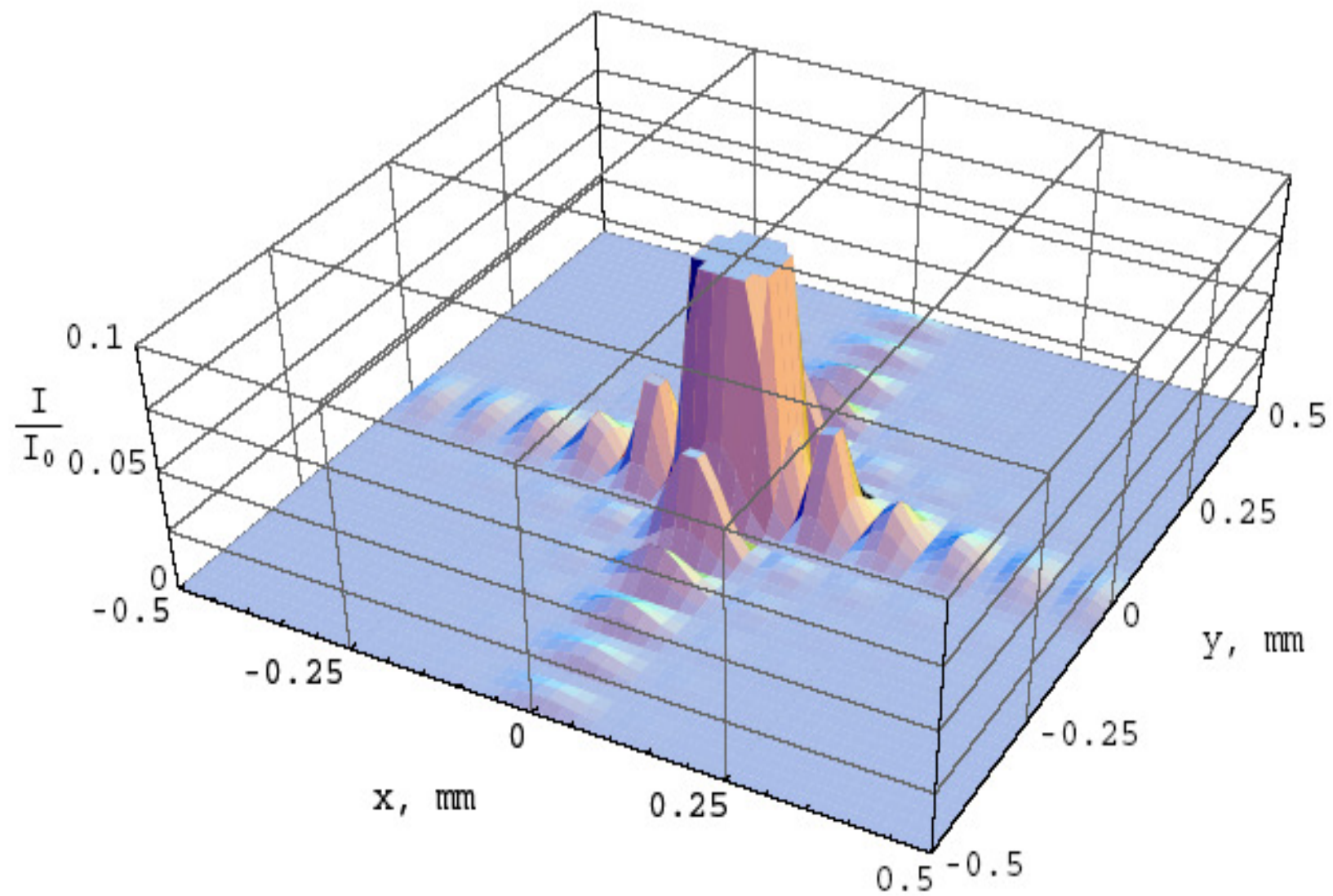
Дифракция в дальней зоне как пространственное преобразование Фурье.

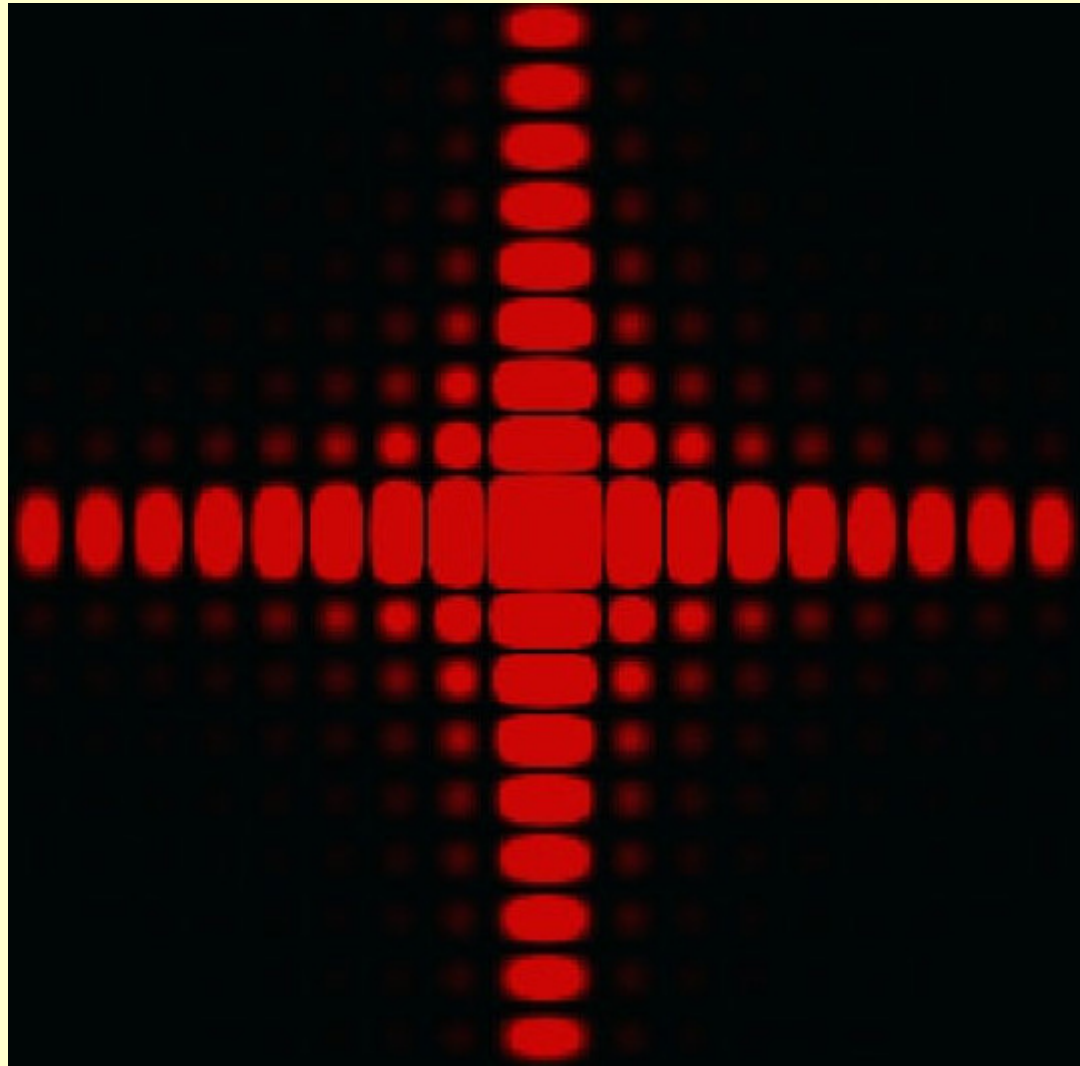
- **Комплексная пространственная
спектральная амплитуда.**

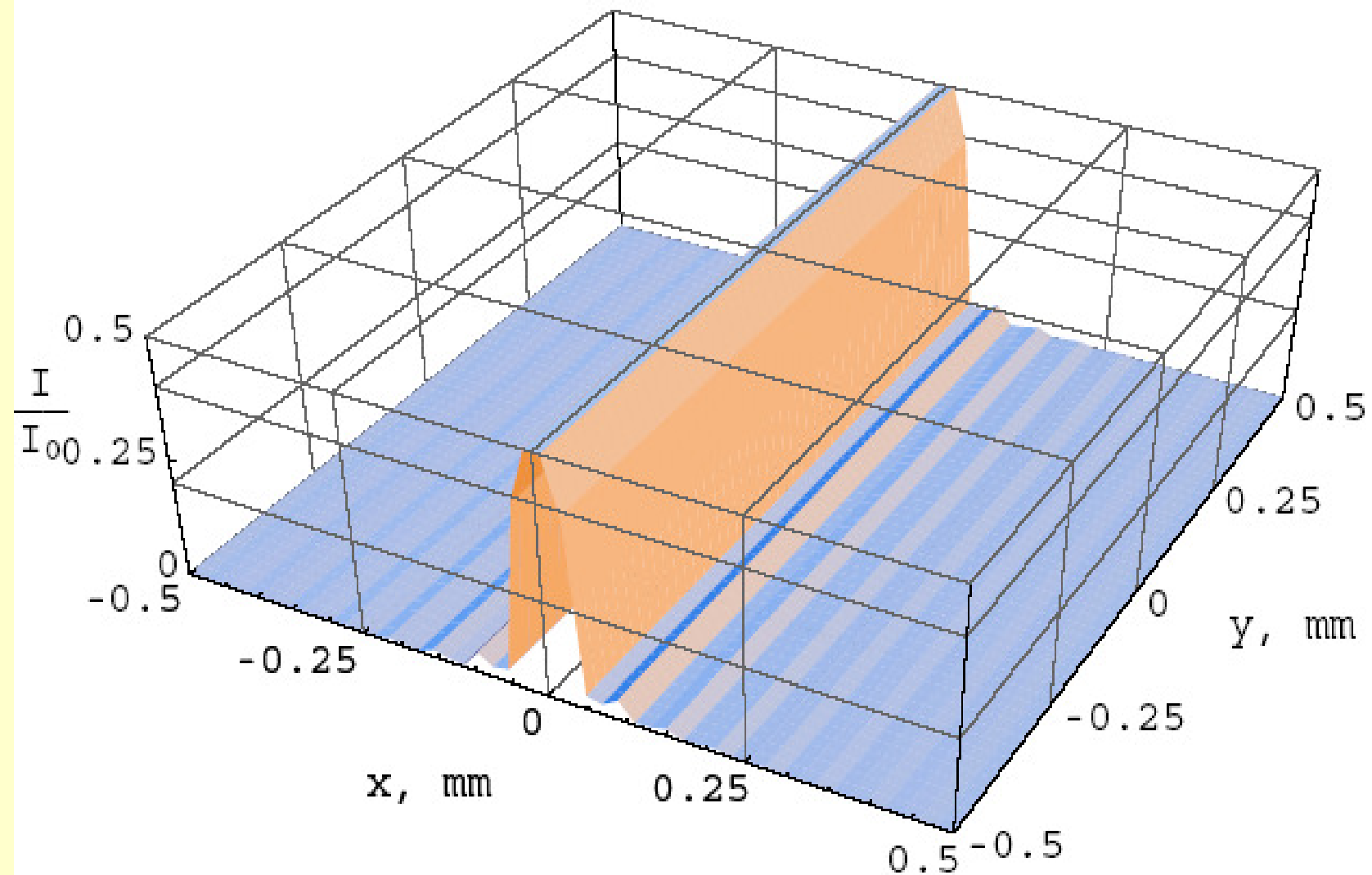


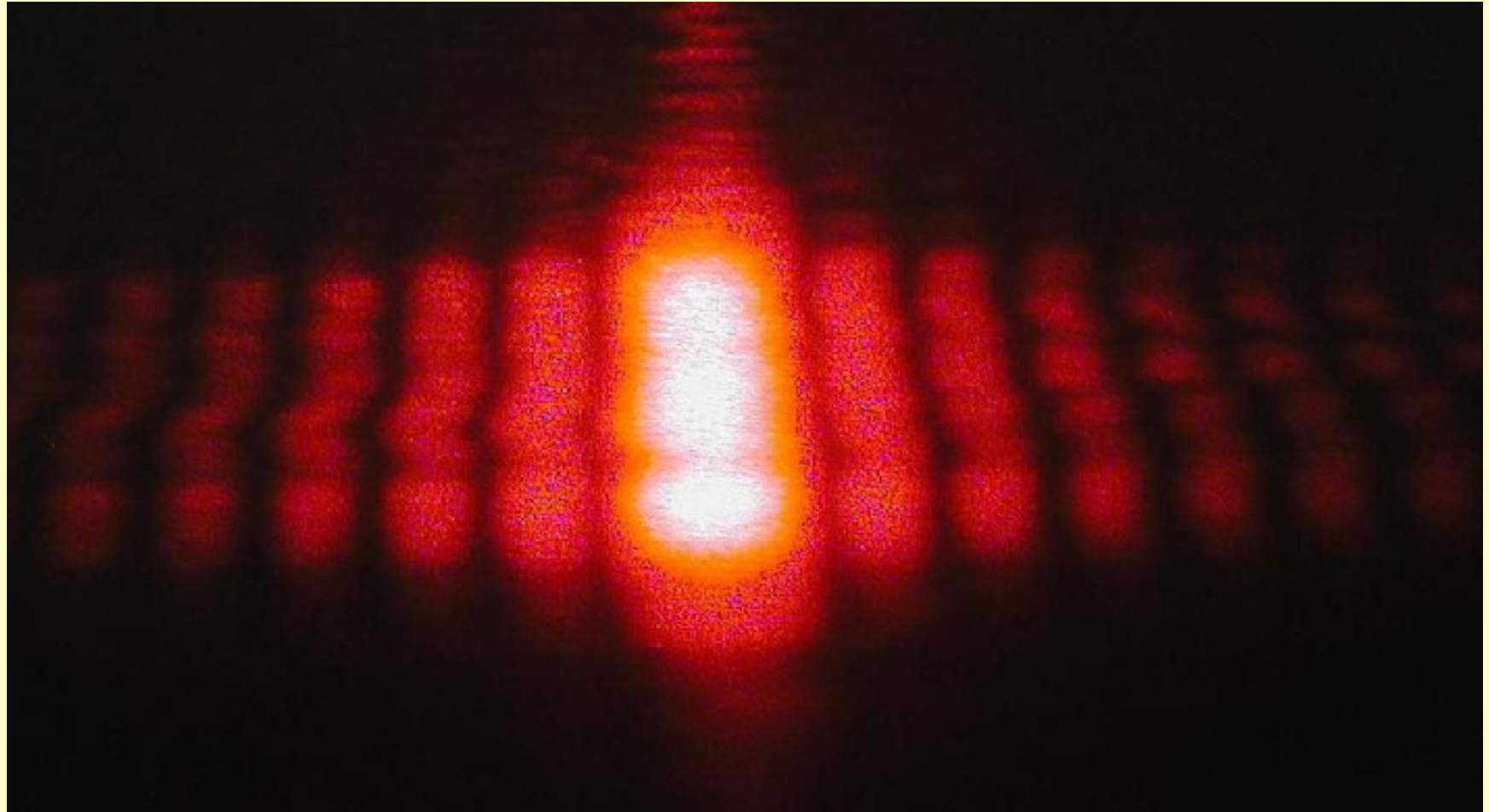
Дифракция на прямоугольном отверстии

$$I(P) = I(k_x, k_y) = \frac{1}{2} |A(k_x, k_y)|^2 = I_0 \left(\frac{l_x l_y}{\lambda b} \right)^2 \text{sinc}^2 \xi_x \text{sinc}^2 \xi_y$$

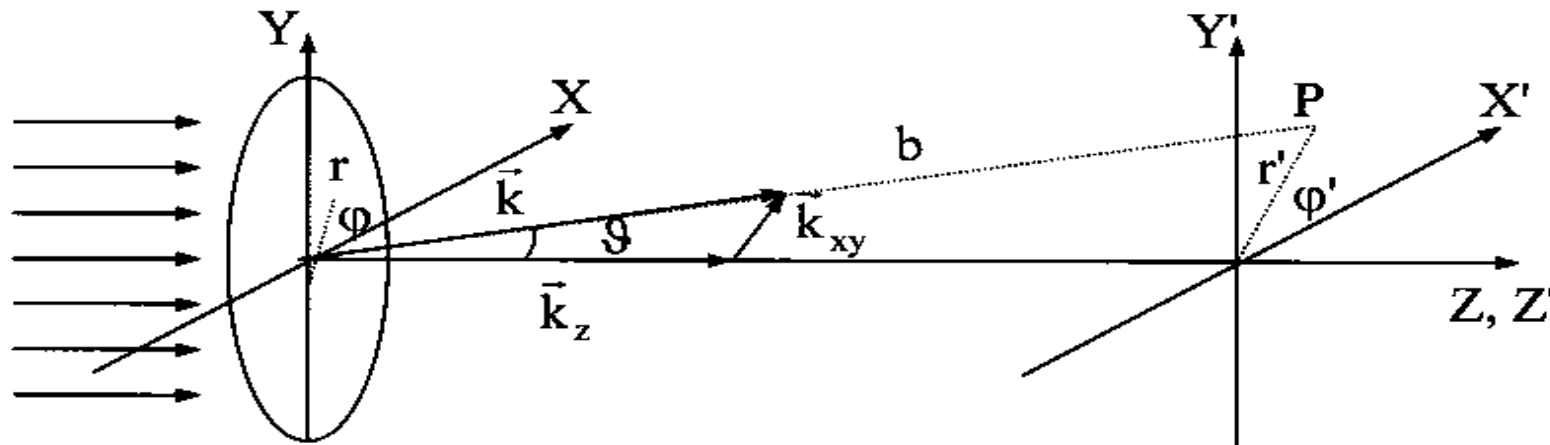








3. Дифракция в дальней зоне от круглого отверстия



$$\sin \vartheta = \frac{r'}{b} \quad k_{xy} = k \sin \vartheta$$

$$\mathbf{k} \cdot \mathbf{r} = (\mathbf{k}_z + \mathbf{k}_{xy}) \cdot \mathbf{r} = \mathbf{k}_{xy} \cdot \mathbf{r} = k_{xy} r \cdot \cos(\phi - \phi')$$

$$\begin{aligned}
A(P) &= \frac{i}{\lambda} \cdot \frac{\ell^{-ikb}}{b} \iint_{\Sigma_0} A_{\Sigma_0} \ell^{i\mathbf{k}\cdot\mathbf{r}} d\sigma = \frac{i}{\lambda} \cdot \frac{\ell^{-ikb}}{b} A_0 \int_0^{2\pi} \int_0^R \ell^{ik_{xy}r \cos(\phi-\phi')} r dr d\phi = \\
&= \frac{i}{\lambda} \cdot \frac{\ell^{-ikb}}{b} A_0 \int_0^R \int_0^{2\pi} \ell^{ik_{xy}r \cos(\phi-\phi')} d\phi r dr
\end{aligned}$$

$$\int_0^{2\pi} e^{i\alpha \cos(\phi - \phi')} d\phi = 2\pi J_0(\alpha)$$

- Табличный интеграл

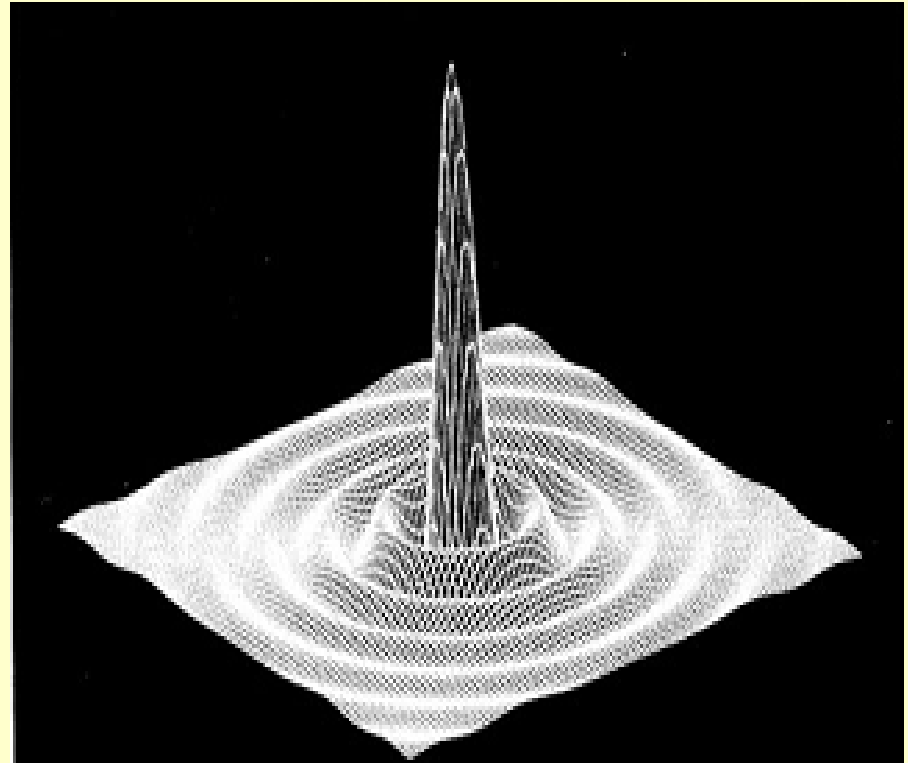
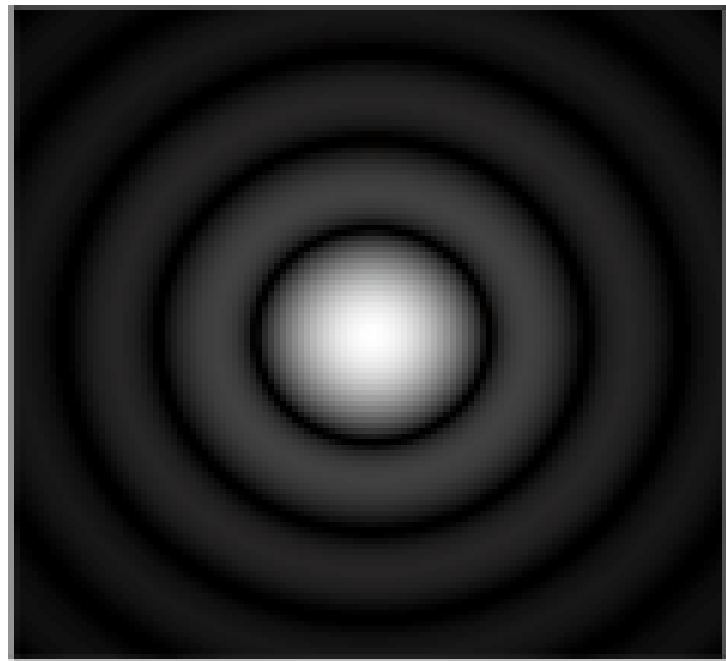
$$A(P) = \frac{i}{\lambda} \cdot \frac{e^{-ikb}}{b} A_0 2\pi \int_0^R J_0(k_{xy} r) r dr = \frac{i}{\lambda} \cdot \frac{e^{-ikb}}{b} A_0 \frac{2\pi R}{k_{xy}} J_1(k_{xy} R) =$$

$$= A(\xi) = \frac{i}{\lambda} \cdot \frac{e^{-ikb}}{b} A_0 \pi R^2 \frac{2J_1(\xi)}{\xi}$$

$$\xi \equiv kR \sin \vartheta = \frac{2\pi R}{\lambda} \sin \vartheta$$

$$I(\xi) = \frac{1}{2} |A(\xi)|^2 = I_0 \left(\frac{\pi R^2}{\lambda b} \right)^2 \left(\frac{2J_1(\xi)}{\xi} \right)^2$$

$$\xi \equiv kR \sin \vartheta = \frac{2\pi R}{\lambda} \sin \vartheta$$



4. Дифракционные решетки

- Дифракционная решетка – оптический элемент с пространственной периодической структурой оптических свойств, который осуществляет пространственную модуляцию падающей волны по амплитуде и (или) фазе

Классификация дифракционных решеток.

1. Пропускательные – работают на пропускание света.

2. Отражательные – работают на отражение света.

3. Амплитудные – пространственно модулируют амплитуду падающей волны – $|t(x,y)| \neq 1$, $\Phi(x,y) = 0$.

Пример – чередование прозрачных и непрозрачных участков.

4. Фазовые – пространственно модулируют фазу падающей волны – $|t(x,y)| = 1$, $\Phi(x,y) \neq 0$.

Пример – среда без поглощения, но с периодически изменяющейся толщиной.

5. Амплитудно-фазовые – пространственно модулируют и амплитуду, и фазу падающей волны – $|t(x,y)| \neq 1$, $\Phi(x,y) \neq 0$.